

基于众包和机器学习技术的安卓应用隐私评级研究^{*}

张贤贤¹, 王浩宇¹⁺, 郭耀², 徐国爱³

1. 北京邮电大学 计算机学院, 北京市 100876
2. 北京大学 信息科学技术学院, 北京市 100871
3. 北京邮电大学 网络空间安全学院, 北京市 100876

Privacy Rating for Mobile Apps based on Crowdsourcing and Machine-learning Techniques^{*}

ZHANG XianXian¹, WANG HaoYu¹⁺, GUO Yao², XU GuoAi³

1. School of Computer Science, Beijing University of Posts and Telecommunications, Beijing, China, 100876
 2. School of Electronics Engineering and Computer Science, Peking University, 100871, China
 3. School of Cyber Space Security, Beijing University of Posts and Telecommunications, Beijing, China, 100876
- + Corresponding author: Phn: +86-186-1218-6396, E-mail: haoyuwang@bupt.edu.cn

ZHANG XianXian. Privacy Rating for Mobile Apps based on Crowdsourcing and Machine-learning Techniques. Journal of Frontiers of Computer Science and Technology, 2000, 0(0): 1-000.

Abstract: Mobile apps frequently request access to sensitive information without users' knowledge. Whether the sensitive information should be granted is related to the purpose of permission use. For example, a map navigation app is reasonable to obtain user location information, but an app uses location for target advertising may be rejected by most users. In this paper, we propose a privacy rating model to assess the privacy behavior of Android

The National Natural Science Foundation of China under Grant No.61401038 and No.61702045 (国家自然科学基金); the National High Technology Research and Development Program Foundation of China under Grant No. 2015AA017202 (国家高技术研究发展计划项目); the Guangdong Provincial Science and Technology Department Frontier and Key Technology Innovation Project Foundation under Grant No. 2016B010110002 (广东省科学技术厅前沿与关键技术创新项目); the State Grid Corporation of China Key Technology Innovation Project Foundation under Grant No. SGRIXTKJ[2017]265 (国家电网公司科技项目); the BUCT Youth Research and Innovation Program Foundation under Grant No. 2017RC40 (北京邮电大学青年科研创新计划专项); the Beijing Key Laboratory of Intelligent Telecommunication Software and Multimedia under Grant No.ITSM200601 (北京邮电大学智能通信软件与多媒体北京市重点实验室项目).

Received 2000-00, Accepted 2000-00.

apps based on the purpose of permission use and users' expectation. Based on more than 16,651 crowdsourcing data of 421 users for the triple <app, permission, purpose>, we have trained a privacy rating model based on machine-learning techniques. Then we use static analysis to infer the purpose of permission use in the app, and grade the privacy using privacy rating model. Experiment results show that the privacy rating model could achieve more than 80% accuracy. By applying the privacy rating model to more than 11K apps from Google Play, the results show that around 8% of apps have serious privacy risks.

Key words: mobile privacy; permission; purpose; privacy score; machine learning;

摘要: 移动平台上广泛存在权限滥用的问题, 在用户不知情的情况下, 很多应用会获取并泄露用户的隐私信息。隐私信息的使用是否合理与其使用意图相关。例如, 一个地图导航应用获取用户的位置信息是合理的, 但一个应用使用位置信息用于定向广告会被很多用户拒绝。为了实现基于用户期望对应用的敏感行为进行隐私评分, 本文提出一种基于应用敏感权限使用意图的隐私评级模型, 基于众包数据中用户对不同的<应用, 权限, 意图>组合的评分, 使用机器学习技术建立准确的隐私评级预测模型。通过静态分析应用使用敏感权限的意图, 使用隐私评级模型对应用进行评分。实验结果表明, 所建立的隐私评级模型能够达到 80.7% 的准确率。通过将隐私评级模型应用于来自谷歌商店的 11,931 个应用, 结果表明大约 8% 的应用存在严重的隐私风险。

关键词: 手机隐私; 权限; 意图; 隐私评分; 机器学习

文献标志码: A **中图分类号:** TP311

1 引言

在移动智能终端和多样的移动应用给用户带来便利的同时, 移动平台上各种新的安全和隐私问题也日益凸显。安卓系统使用权限模型来控制对隐私信息的访问。然而, 移动平台广泛存在权限滥用问题, 很多应用经常申请不必要的敏感权限, 使用户隐私信息面临被泄露的风险。很多应用会在用户不知情的情况下获取并泄露隐私信息。

近年来很多研究工作关注于应用分析和移动系统的隐私保护^[1,2,3,4,5,6], 虽然大部分工作都可以检测隐私泄露或者进行隐私保护, 但它们没有针对隐私信息使用的原因深入探究, 导致用户的期望与应用行为的差距迟迟未能解决。应用的敏感行为是否恶意以及是否应该被允许都跟其使用权限的意图有关。例如, 大部分用户会认为地图应用使用位置信息进行导航是正常行为, 但并不愿意位置信息被用于提供定制化广告服务及第三方分析。因此相关工作^[7]仅分析应用的敏感权

限来对应用进行隐私评级的工作是不可靠的, 功能丰富的应用使用的敏感权限很多, 导致隐私评分很低, 但这些应用绝大多数都不是恶意的。

很多研究尝试解决用户期望与应用行为的差异。WHYPER^[8]和 AutoCog^[9]基于用户所期望的应用行为, 提出基于自然语言处理技术在应用描述与其申请权限之间建立映射关系, 并用这种映射关系量化应用功能和行为之间的差异性。CHABADA^[10]基于描述对应用聚类, 并以此分析同类应用中 API 调用异常的应用, 进而寻找潜在的恶意应用。但研究表明, 超过 90% 的应用都没有完整的在描述中说明其使用权限的原因^[9]。

Lin 等人^[11,12]提出使用众包技术研究用户对不同的<应用, 权限, 意图>组合的接受程度。通过检测应用中隐私信息的使用位置 (第三方库或应用核心代码), 即可分析隐私信息使用的意图, 即用于第三方库 (例如广告推荐、社交网络、第

三方分析等)还是应用核心功能需要。研究结果表明用户的期望和隐私使用的意图都会影响用户对应用隐私行为的接受程度。本文受此工作启发,在用户众包数据的基础上,建立应用隐私评级模型,能够自动化对应用的隐私威胁分析和评级。

为实现准确的应用隐私评级模型,本文通过静态分析研究敏感权限的使用及其使用意图,基于众包数据中用户对不同的<应用,权限,意图>组合的评分,为应用提取多维度特征构建特征向量,并对数据集进行预处理,使用机器学习技术建立准确的隐私评级预测模型。

本文实现了一个应用隐私评级工具,能够准确的分析应用中实际使用的敏感权限及其使用意图并提取应用相关特征为应用构造特征向量,输入预测模型进行隐私评级。实验表明,模型预测准确率能够达到 80.7%,通过将该预测模型应用于谷歌商店的 11,931 个应用,结果表明约 8% 的应用存在严重的隐私风险。

本文主要有以下贡献:

(1) 建立了一个基于权限使用意图的移动应用隐私风险评级预测模型。该模型可以预测用户所关心的隐私信息使用的问题,并以评分等级的方式展现,直观且高效。

(2) 实现了移动应用的权限使用意图的分析。首先获取应用中使用的敏感权限,然后为每一个敏感权限分析其使用意图,将敏感权限和使用意图作为预测模型的核心特征。

(3) 实现一个自动化的隐私评级工具并将其应用于大量应用中验证,该工具可准确为每个应用预测隐私风险评级。

2 研究背景和相关工作

2.1 安卓的权限模型

本文的研究基于安卓权限模型,安卓权限框架从两方面保护用户隐私:(1) 限制应用访问用

户敏感资源;(2) 在用户安装应用之前帮助用户做选择。安卓权限分为系统权限和特殊权限授权,系统权限包括普通类型和敏感类型,其中普通类型并不直接威胁到用户的隐私,直接在 AndroidManifest.xml 文件权限申请里注册,系统会默认授权。而敏感类型的权限可以让应用访问用户敏感数据,不仅需要在 AndroidManifest.xml 中注册,同时在使用的时候需要向系统请求授权。安卓在 6.0 版本以前采用默认的授权模式,即所需权限一次性申请,用户在安装应用的时候系统采用默认授权,且一旦授权便不可撤销。这种授权模式没有考虑用户,用户要么选择接受所有的权限,要么为了拒绝授权不得已放弃安装应用。对用户来说,一方面用户体验很差,另一方面不能控制授予应用的权限是否会被合理使用,存在隐私泄露风险。安卓在 6.0 版本之后授权模式升级,新的授权模式只有需要授权的时候才请求用户是否授权,而且是在程序运行时授权而非安装时授权,这种模式赋予用户自主选择的权利,例如用户可以拒绝某些应用访问记录设备位置的权限。

授权模式升级之后用户拥有自主选择权,但这并不能解决用户隐私信息泄露的风险,安卓应用安全和隐私的设计依赖于用户能够理解所有权限,然而用户在没有长时间使用应用之前并不能了解应用的敏感行为,研究^[13,14]表明,用户很少注意到权限相关的问题,Felt^[13]等人进行的两次研究发现用户对权限的关注度和理解率都较低,这表明普通用户一方面缺乏对应用权限的关注,另一方面缺乏专业领域知识,对于应用所请求的权限并不了解其潜在风险,以及这些权限在应用中如何被使用。因此安卓使用的权限许可申请并不能帮助大多数用户做出良好的安全策略选择。

2.2 移动应用的隐私风险分析

针对隐私信息是否泄漏的问题,Enck 等人^[15]

通过修改 Dalvik 虚拟机实现动态污点分析工具 TaintDroid。该工具可以将敏感数据标记为污点源,然后跟踪污点数据,根据污点数据是否被泄露来判断应用是否存隐私泄露。RiskMon^[6]提供一种连续而自动化的风险评估框架,通过收集用户对应用权限使用的反馈,从应用程序的元数据中构建模型,然后使用机器学习方法来评估应用风险。但 RiskMon 会在运行时跟踪应用 API 调用,耗时较多且大量占用手机资源,例如 CPU 和内存。

2.3 权限理解

文献^[3,16,17,18]研究用户对权限的理解,用户通常会忽略安装应用时的安全警告^[17,18],同时由于对权限理解不足^[17,18],以及并不了解应用所收集的隐私信息^[19],导致用户不能有效地对应用权限进行管理。

Liccardi 等人^[20]提出修改 Google Play 的权限界面,为应用增加隐私泄露度量(即隐私评分),其目的是让无经验的用户能够理解应用权限。Sarma 等人^[21]提出对应用中异常权限使用产生安全警告,并以此提醒用户。如果应用请求的权限也被同类别其他应用所请求,则说明该权限为应用所需,否则说明该应用的权限请求异常。Amini 等人^[11]提出结合众包以及动态分析技术,帮助用户理解隐私信息的使用以及标记应用异常行为。Ismail 等人^[22]使用众包的方法研究应用在不同权限设置下的可用性,及用户对应用可用性的接受程度,并以此为不同用户推荐权限设置。

2.4 用户期望与应用行为差距分析

基于用户能直观看到的应用描述、应用界面(UI)等信息,近期的研究工作尝试从用户角度出发,分析并解决用户期望与应用行为的差异。这些研究工作可以分为三类:应用描述与应用行为的一致性分析^[8,23],应用界面与应用行为的一致性分

析^[10],以及应用功能与界面的一致性分析^[24,25,26]。

基于应用描述的分析:WHYPER^[8]基于用户心中所期望的应用行为,提出一种基于自然语言处理的方法在应用描述和应用申请权限之间建立一种映射关系,并用这种映射关系量化应用功能和应用真实行为之间的差异性。在此基础上,AutoCog^[9]提出一种结合机器学习和自然语言处理的方法,利用大量数据生成应用描述和应用申请权限的关系模型,从而使分析结果更精准和全面。CHABADA^[10]通过分析应用描述与应用实际功能的差别,寻找潜在恶意应用。基于应用描述进行聚类,然后找出同类别应用中 API 使用异常的应用。但当前应用描述更多的是关于应用的功能,而没有涉及到应用中隐私泄露的行为。在此基础上,Zhang 等人^[23]提出自动化工具 DESCRIBEME,通过程序分析和自然语言处理技术为应用自动生成有关隐私信息泄露的描述。

基于应用 UI 界面的分析:PERUIM^[24]和 AsDroid^[25]使用程序分析技术识别与应用界面元素相应的权限,分析 UI 权限与 UI 组件中文本信息的差异,从而检测潜在的恶意应用。基于应用敏感行为相关的 GUI 操作序列,AppIntent^[26]分析隐私信息的泄露是否为用户触发,从而检测潜在的恶意行为。尽管这些研究工作尝试从用户角度出发,分析并解决用户期望与应用行为的差异,但大部分应用并没有完整的应用描述或者 UI 描述信息。例如,超过 90% 的应用都没有完整的在描述中说明使用权限的原因^[9]。

3 研究方法

本文基于 Lin^[11]等人对于用户对移动应用隐私期望的众包数据集,为每一个应用提取多维度的特征,并结合<应用,权限,意图>三元组以及用户评分构造特征向量,以该数据集作为训练集构

建并训练预测模型,并通过预测分数和真实分数的均方误差值来选择预测效果最好的模型,最后设计良好的隐私评分等级映射算法,将预测分数映射为评分等级,实现隐私评级预测工具,整体流程图如图 1 所示。

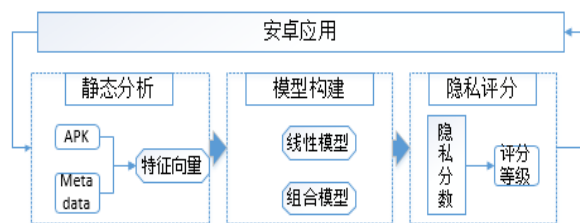


Fig.1 Framework of privacy rate predict model

图 1 隐私评级模型框架

3.1 众包数据集

本文的研究基于 Lin^[11]等人对于用户对移动应用隐私期望的调研结果数据集。他们采用众包的方式调查用户对移动应用隐私信息使用期望的真实数据,因隐私策略的复杂性或是用户付出的时间与收益不平衡等原因,很少有用户去阅读终端用户许可协议或者隐私策略^[27],但是众包技术可以很好的解决这些问题。通过提供清晰的解释来降低权限理解的复杂度,关注应用的哪些行为打破了用户的期望。首先要求参与者阅读由谷歌商店提供的关于应用的基本信息,截图和描述,然后一组参与者会被询问关于应用权限使用期望相关问题,另一组则被告知权限的具体使用意图等信息,最后要求参与者为应用程序权限相关行为指定舒适度评分,评分范围从-2(非常不适)到+2(非常舒适)。

Lin^[11]等人在 2014 年 2 月研究了谷歌商店中根据星级评分排名前 100 的免费应用程序,采用众包的方式调查用户对移动应用隐私信息使用期望的真实数据。为获取更多数据,在 2014 年的 8 月进行第二轮研究,扩充众包数据集,使得数据集中任意一个敏感权限或者使用意图至少有 20 个<应用,权限,意图>三元组。Lin^[11]等人的两次研

究共收集来自真实用户的 44,676 份有效数据,并对原始数据进行整理和清洗,使得最终的数据集中共包含来自 421 个真实用户关于 414 个应用的 16,651 份问卷结果,这也是本文所用的数据集。

3.2 隐私评级模型

隐私评级模型的实现分为三个主要步骤,第一步为应用构造特征向量。训练集中的数据只需要通过静态分析等技术从元信息中提取与应用相关的特征和用户对应用的反馈信息,这些特征数据结合众包数据集集中的<应用,权限,意图>以及评分可以为应用构造出特征向量。但对于需要进行预测的应用应首先获取应用中实际使用的所有敏感权限,并为敏感权限分析使用意图,然后再提取应用相关的其他特征数据构造特征向量。第二步构建预测模型,利用不同的机器学习算法建立回归模型,通过参数调整和优化使模型稳定且实现最好的预测效果,通过对比分析每个回归模型的预测结果,选择性能最好的回归模型作为隐私评级工具的预测模型。第三步评分等级映射,因此建立合理的隐私评分计算以及等级映射算法,为应用最终确定一个隐私评级。

4 特征分析和提取

首先为每一个应用提取特征并构造特征向量。通过 API 分析和静态分析等技术获取应用相关的特征数据,包括权限分析,权限使用意图分析以及元数据的分析等,提取不同的特征为应用构建特征向量。特征数据来源于两个部分,分别是使用爬虫从谷歌应用商店爬取应用的 apk 文件和相关的元数据。通过反编译 apk 文件可以获取应用实际使用的敏感权限,元数据包含应用相关的一些特征数据,例如应用的描述,下载量,用户的评论量等特征。

Table 1 Sensitive permissions

表 1 敏感权限

权限	描述
READ_PHONE_STATE	访问电话状态
ACCESS_FINE_LOCATION	获取精确位置
GET_ACCOUNTS	访问 Gmail 列表
CAMERA	访问摄像头
READ_CONTACTS	访问通讯录
MANAGE_ACCOUNTS	管理账户
RECORD_AUDIO	录音
SEND_SMS	发送短信
BLUETOOTH	使用蓝牙
AUTHENTICATE_ACCOUNTS	验证账户
ACCESS_COARSE_LOCATIONS	粗略获取位置信息

4.1 权限和使用意图

静态分析是移动应用分析中最常用的技术,通过静态分析可以实现敏感权限分析和使用意图分析。本文中使用的反编译工具 ApkTool^[28]将原始的 apk 文件反编译为中间代码。一方面可以获取到应用权限申请 AndroidManifest.xml,该文件中申请的权限在应用代码中或第三方库代码中使用,因此通过解析该文件可以获取到该应用相关的一些特征,例如各个组件的数量、申请权限的数量、安装包大小等特征。此外还可以通过分析 smali 格式的中间代码中 API 的调用关系获取应用实际使用的敏感权限。隐私信息的使用是否合理与其使用意图相关,因此本文针对应用中频繁使用的 11 个敏感权限分析其在不同应用中的使用意图,获取到<应用,权限,意图>三元组,表 1 列出本文中分析的 11 个应用常用的敏感权限。

针对上述 11 种敏感权限,本文分析总结 9 种常用的使用意图,这个意图分类是经过相关工作^[11,12]验证的常见权限使用意图,如表 2 所示,其中第三方库代码中权限的使用意图可以通过第三方分析工具 LibRadar^[29]分析提取。LibRadar 是一种基于聚类的第三方库检测工具,使用该工具可

以分析出应用中引用的第三方库的数量以及不同的第三方库中使用的权限以及使用该权限的意图。但是一个权限仅在应用本身代码中被使用而没有在第三方库中被使用,则将其使用意图默认标记为 INTERNAL,表示该权限只在应用程序本身的代码中被使用。

Table 2 Purposes of permissions

表 2 权限使用意图

使用意图	标记
功能实现	DEVELOPMENT_AID
广告	TARGETED_ADS
社交	SOCIAL_NETWORK
游戏	GAME_ENGINE
应用分析	MOBILE_ANALYTICS
工具	UTILITY
付款	PAYMENT
地图和位置服务	MAP
内部使用	INTERNAL

4.2 特征类型

特征向量可以唯一的表示一个应用的特定权限的使用意图,在创建预测模型之前首先创建特征向量集。本文提取多种特征数据为应用构造特征向量,其来源于两个部分,一部分特征数据来自于“元数据(Metadata)”,即可以直接从应用商店获取,与应用本身相关的特征数据,例如应用的下载量、评论数量、星级排名等数据;另一部分特征数据则需要通过静态分析从应用安装包文件中提取。本文将应用的特征分为三种类别,表 3 列出了特征数据的分类、名称及来源。

(1) 受用户影响特征

受用户影响的特征这部分的数据主要来源于用户的反馈。用户可以在应用商店对应用进行星级投票,星级分为五个等级,五星级别最高,五星的数量越多表明该应用受欢迎程度越高,因此不同星级的数量可以在一定程度上反应用户对该应用的喜好程度。“下载量”特征更直接体现该应

用的实际用户量。同类应用中,一个应用的下载量越大表明该应用在同类应用中越受欢迎,其使用用户隐私信息的可靠性更高,用户对该应用的评价可能会较高。特征与隐私评分的相关性分析表明下载量与隐私评分呈正相关且相关性较强。

(2) 客观特征

客观特征与应用自身相关,应用是否提供介绍开发者的网站,姓名,开发者的邮箱等信息。同一个开发者可能参与开发过不止一个应用。例如,一个开发者开发过恶意应用,那么其他有该开发者参与开发的应用也应该引起用户对该应用中隐私信息使用情况的关注,与该开发者相关的应用评分倾向可能会比较相似。“描述”这个特征用最简洁的语言表明该应用的主要功能,该特征基本是在叙述应用的核心功能,很少体现出应用中权限的使用情况,因此本文在建模过程中不考虑“描述”特征。“应用分类”则表示应用的类型,例如游戏类或地图类,同类应用实现的功能会比较相似,因此可以认为同类型的应用可能会使用相似的敏感权限集合。

(3) 隐私相关特征

隐私相关特征与用户隐私信息相关,应用中使用的敏感权限及其使用意图,一定程度决定用户对应用的接受程度以及评价,申请的权限可以在应用本身代码中使用也可在第三方库中使用,或是申请之后并不使用。因此,需通分析应用中敏感 API 的使用,提取应用实际使用的敏感权限,及该应用第三方库中用到的敏感权限,并且分析每一个敏感权限分析在应用中的使用意图。

4.3 相关性分析

通过计算每个特征与评分的皮尔森系数分析每个特征与应用隐私评分之间的相关性,皮尔森系数数值范围为[-1,1],绝对值越大表示相关性越强,正值表示特征和评分之间是正相关,负值表示

Table 3 Type of features

表 3 特征数据类型

特征类型	特征名称	来源
受用户影响特征	评论数,星级 (1,2,3,4,5) 数,	元数据 (Metadata)
	星级排名,下载量,内容评级.	
客观特征	是否提供开发者相关信息	1.元数据
	(网站,邮箱,隐私策略的链接),安卓组件 (receivers, activities, service providers, services)的数量,描述,应用分类等.	(Metadata) 2.静态分析 (apk)
隐私相关特征	权限,使用意图,权限数量,第三方库数量.	静态分析 (apk)

特征和评分之间是负相关。特征与隐私评分相关性分析结果如图 2 和图 3 所示,图 2 表明有 74% 的特征和隐私评分之间呈正相关性,只有 26% 的特征和隐私评分之间呈负相关性。

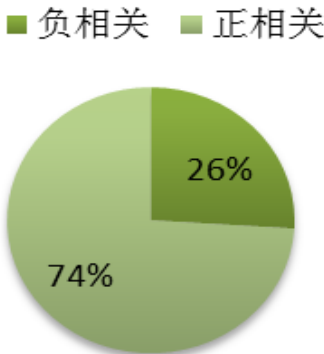


图 2 特征相关性

Fig.2 Features correlation

图 3 所示为负相关性最强的 5 个特征 (a) 和正相关性最强的 5 个特征 (b),其中负相关性最强的三个特征分别是应用类型(appType),权限使用意图 (purpose) 和第三方库的引用数量 (libNums)。权限使用意图与隐私评分呈负相关性,且相关性较强排第二,第三方库引用数量与隐私评分的相关性为-0.33, 表明第三方库和隐私评分之间的呈负相关且相关性较强,引用第三方库数量越多, 对应用隐私评分所起的消极的作用越

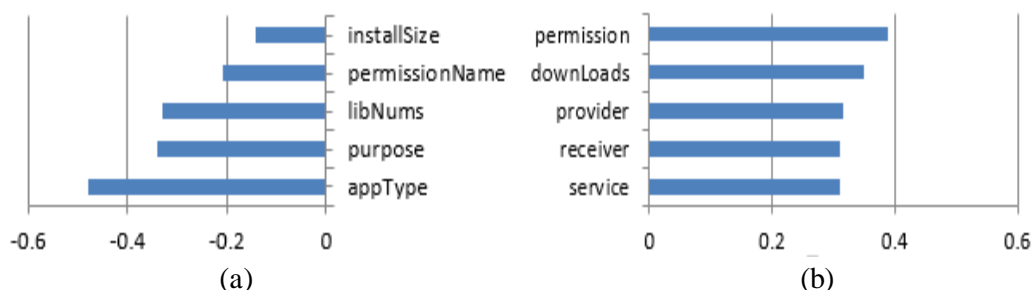


Fig.3 Correlation between features and privacy score

图3 特征与隐私评分相关性

强。而正相关性最强的两个特征分别是权限数量(permissions)和应用下载量(downLoads),应用下载量与隐私评分的相关性为 0.34,表明下载量对应用隐私评分有着较为积极的作用,下载量越大,则应用受欢迎的越高,其他的三个特征(provider,receiver,service)都表示安卓组件的数量,安卓组件数量与应用隐私评分呈正相关性且 3 种组件对隐私评分的影响程度无明显差异。

4.4 特征向量预处理

本文中采用长度为 24 的特征向量表示应用。由于特征数据类型既有数值类型特征也有非数值类型特征,因此需对原始的特征数据进行预处理,不同类型的特征采用不同处理方式。

(1) 归一化

归一化是一种简化计算的方式,即将有量纲的表达式经过变换化为无量纲的表达式。归一化后的数据会根据需要被限制在某一个范围之内。本文中用到的数据类型的特征数据级别差距较大,例如“下载量”这一特征值往往是上万甚至百万级别,而“组件数量”则是个位数级别。归一化处理一方面能减小某一维数据对结果影响太大,另一方面可以加快程序的运行速度。数据归一化的实现方式有多种,本文中采用线性转换函数进行数值类型数据的归一化处理:

转换公式如(1)所示,其中 x, y 分别表示转换前和转换后的值,Mean 表示均值,Std 表示标准差,归一化处理之后的数据范围限定在 $[-1, 1]$ 之间,且均值为 0。

$$y = \frac{x - \text{Mean}}{\text{Std}} \quad (1)$$

(2) 标签化

非数值类型的特征数据有应用的分类、权限、使用意图等特征。本文对训练集中非数值化的特征进行标签化的处理之后参与对模型的训练,每一个需要预测评分应用的此类特征都需要预先进行标签化处理之后,才能输入模型进行隐私评分预测。本文采用独热编码的方式标签化非数值特征,对于每个非数值特征,假设存在 N 个可能值,经过独热编码后用长度为 N 且每位为 0 或 1 的码字表示,每个码字中只有一个位置的值可以为 1,表示对应值。

5 构建模型

本研究的目的是建立机器学习模型,实现安卓应用隐私评分的预测,该模型的建立以应用中敏感权限的使用意图及相关的元数据为基础,是创建一个回归函数,该函数可以实现应用到评分的映射。构建预测模型是一个迭代的过程,需采用合理的方法选择模型并进行多次对比研究,并以

实验结果数据为依据选择最优的回归模型作为预测模型。

5.1 建立模型

本文构建多个不同的模型进行回归训练,从最简单的线性模型到复杂的组合模型。线性回归模型实现简单,但容易出现过拟合等问题,对该问题可以使用正则化的方式优化。正则化是把额外的约束或者惩罚项加到已有模型的损失函数上,以防止过拟合并提高泛化能力,正则化又分 L1 正则化和 L2 正则化,相对应的产生了 Lasso 模型和 Ridge 模型。

将简单的基础模型组合可以实现较为复杂的组合模型,组合的方式有很多种,本文中采用随机化以及梯度下降的组合模型。随机化的组合方式结合决策树可以建立随机森林,随机森林由多棵决策树组成,每一棵决策树可以独立的工作。梯度下降的方式则是指新模型是在之前建立的模型损失函数的梯度下降方向建立,如果建立的模型能够让损失函数持续的下降,说明模型在不停的改进,最好的方式就是让损失函数在其梯度的方向上下降,以此来优化模型。

5.2 性能评估

模型预测能力的好坏需要一个评价指标,本文采用模型对应用的预测评分和应用实际评分之间的均方误差值 (MSE) 作为模型预测能力的主要评估指标,均方误差值越小,表示模型预测能力越强,模型性能越好。此外在构建模型的时候使用 k-折交叉验证对输入数据自动进行训练,k 值取 1 至 10 之间的正整数,将根据实验结果,取使预测结果最优的 k 值。实验中将输入数据拆分为 k 组,其中一组保留用于测试,其他 k-1 组用于训练,此过程重复 k 次,使得每一组数据都有机会作为测试组,然后取 k 次训练的均方误差值的平均值作为最终的评估值。 $MSE_{k=i}$ 表示第 k=i 组数据作为

测试组训练模型得到的均方误差值,该值计算过程如公式(2)所示,其中 $predict_t$ 表示一个应用相关的第 t 个向量的预测评分,而 $real_t$ 则表示真实评分,MSE 表示模型的均方误差值,计算过程如公式(3)所示:

$$MSE_{k=i} = \frac{1}{n} \sum_{t=1}^{t=n} (predict_t - real_t)^2 \quad (2)$$

$$MSE = \frac{1}{k} \sum_{i=1}^{i=k} MSE_{k=i} \quad (3)$$

5.3 隐私评级

一个应用中可能会使用多个敏感权限,同一个敏感权限可能会存在多个使用意图。因此每一个应用相关的<应用,权限,意图>三元组数量不同,这意味着预测模型对每个输入的应用输出一个数目不定的评分向量 (appScore),需要确定一种合理的评分策略,根据预测所得应用的评分向量为应用确定一个最终的隐私评分 (FinalScore),并根据最终的评分为应用确定一个隐私评分等级 (PrivacyRate)。本文采取的方法是,首先对所有的预测值进行排序,然后查看是否存在负值。存在负值说明该应用存在不受用户欢迎的权限使用方式,则将所有的负值求和作为最终的隐私评分。如果不存在负值,表明该应用中敏感权限的使用较为合理,则将所有正值求平均值作为最终的隐私评分 (FinalScore)。算法 1 描述了从 appScore 到 PrivacyRate 的计算过程。

算法 2 描述从最终的隐私评分 (FinalScore) 到隐私评分等级 (PrivacyRate) 的映射。评分等级分为[A,B,C,D]四个等级,其中 A 表示应用中权限的使用状况良好,不存在风险;B 表示应用中权限的使用状况较好,虽然不存在隐私风险,但可能存在用户并不喜欢的权限使用;C 表示应用中权限使用存在隐私风险;D 表示应用中存在较为严重的隐私风险。一种情况下应用的评分等级会直接被判定为 A。这种应用是指在权限分析的时候

算法 1. 评分等级策略

输入：评分向量 $\text{appScore} = (s_1, s_2, \dots)$, 表示一个应用的所有预测分数;
输出：应用的隐私评分等级 $\text{PrivacyRate}, [A, B, C, D]$ 四个等级之一;
 $\text{appScore} = (s_1, s_2, \dots)$ $\text{sortedScore} = (s_1, s_2, \dots)$;
if (appScore 中存在负值){
 $\text{FinalScore} \leftarrow \frac{\text{sum}}{\text{sortedScore}} = (s_1, s_2, \dots)$;
} else {
 $\text{FinalScore} \leftarrow \frac{\text{average}}{\text{sortedScore}} = (s_1, s_2, \dots)$;
}
 $\text{FinalScore} \xrightarrow{\text{algorithm2}} \text{PrivacyRate}$;
Return PrivacyRate ;

发现应用中并没有使用表 1 中提到的敏感权限, 我们认为该应用不会去访问用户隐私数据, 属于安全级别较高的应用, 因此直接将其隐私风险等级判定为 A, 在 6.3 小节的分析中我们发现该类应用所占比重较大。

6 实验和评估

6.1 预测准确率

从简单的线性回归模型到较为复杂的组合模型, 本文训练 8 个不同的回归模型, 每个模型预测能力使用预测值和实际值得均方误差 (MSE) 评估, 图 4 展现了各个模型的 MSE 值, 8 个模型预测准确率由低到高排序依次为: BayesianRidge(BR)、Lasso(LS)、Linear(LN)、LassoLars(LL)、Ridge(RD)、RandomForest(RF)、ERT、GBRT。由图 4 可以看到使用以<权限, 意图>特征组为核心构建的模型中, 前五个基础模型 (BRi、LS、LN、LL、RD) 的预测结果准确率比较接近, MSE 值均在 0.4 上下浮动, 后面三个组合模型 (RF、ERT、GBRT) 的预测结果准确率比较接近, MSE 值均在 0.2 左右, 组合模型的预测能力明显优于基础模型的预测能力。其中渐进梯度回归

算法 2. 评分等级映射

输入: FinalScore , 应用最终评分;
输出: $\text{PrivacyRate}, [A, B, C, D]$ 四个等级之一;
if $\text{FinalScore} \in [1, 2]$
 $\text{PrivacyRate} \rightarrow A$
else if $\text{FinalScore} \in [0, 1)$:
 $\text{PrivacyRate} \rightarrow B$
else if $\text{FinalScore} \in (-1, 0)$:
 $\text{PrivacyRate} \rightarrow C$
else if $\text{FinalScore} \in [-2, -1]$:
 $\text{PrivacyRate} \rightarrow D$

树 (GBRT) 取得最好的预测效果, 该模型的 MSE 值为 0.193, 表明渐进梯度回归树 (GBRT) 的预测准确率达到 80.7%, 因此最终选择渐进梯度回归树 (GBRT) 作为预测模型实现应用隐私评级工具。

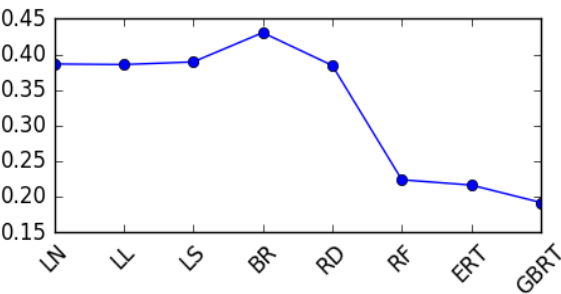


Fig.4 Prediction accuracy of models

图 4 各个模型预测准确率

6.2 特征集优化

6.2.1 特征重要性

各个模型的评估结果表明渐进梯度回归树的预测效果最好, 为了进一步提高模型性能, 分析不同的特征在模型中对预测结果的影响大小, 去掉一些对预测结果贡献不大的特征, 力求在降低特征维度的同时保持预测模型的准确率。首先计算每一个特征在模型中的重要性, 如图 5 所示, permissionName (权限名称) 和 purpose (权限使用意图) 为模型中最重要的两个特征, 而 dName (是否提供开发者姓名) 和 dEmail (是否提掉一些对预测结果贡献不大的特征, 力求在降低

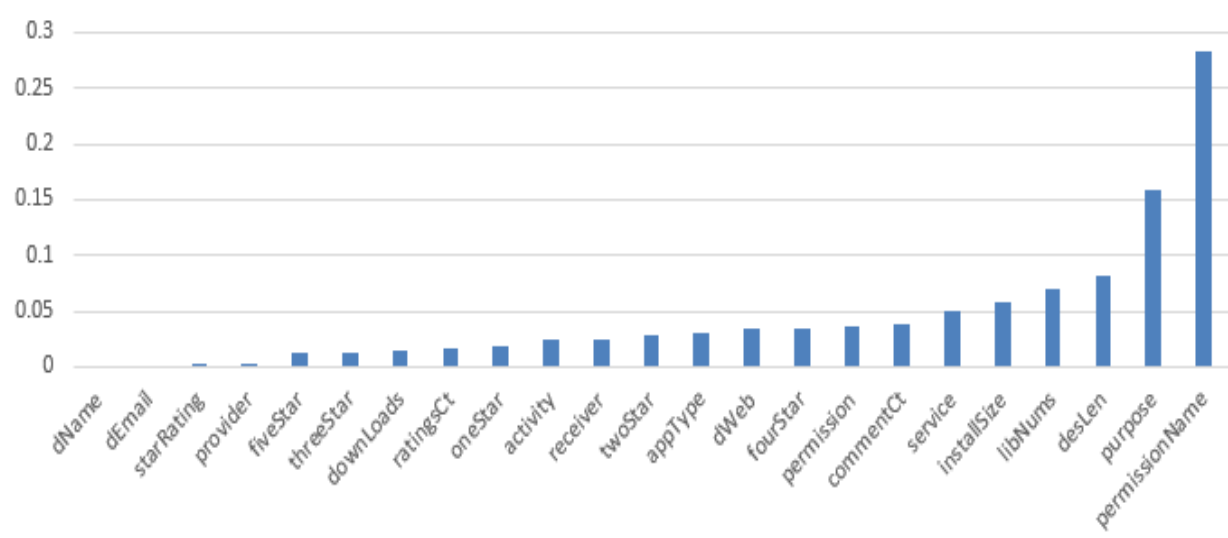


Fig.5 Features importance of GBRT

图 5 GBRT 模型特征重要性

特征维度的同时保持预测模型的准确率。首先计算每一个特征在模型中的重要性,如图 5 所示,permissionName (权限名称) 和 purpose (权限使用意图) 为模型中最重要的两个特征,而 dName(是否提供开发者姓名)和 dEmail (是否提供 0,说明 dName 和 dEmail 对模型预测能力几乎没有任何贡献,对应用的预测结果基本没有影响。分析训练集数据发现这两个特征为布尔类型的变量,表示应用是否有开发者的姓名和开发者的邮箱地址,与开发者相关的另一个特征是 dWeb,表示是否提供了开发的个人主页介绍,这个特征的重要性高于 dName 和 dEmail。通过对训练集数据的统计分析发现这三个特征取值变化很小,如表 4 所示,这三个特征中值为 1 所占比例都高于 94%,且 dName 和 dEmail 两个特征与隐私评分的皮尔森系数均小于 0.1,表明这两个特征跟隐私评分的相关性很弱。因此从特征向量中删除这三个特征,并用剩余特征构建新模型,发现其 MSE 值为 0.209,跟删除这三个特征之前模型的 MSE 值 0.193 相比,去掉这三个特征对预测结果准确率影响很小。

6.2.2 特征子集

分析不包括应用开发者信息(dName,dEmail,

Table4 Distribution of boolean type features

表 4 布尔类型特征分布

特征	百分比 (值为 1)	百分比 (值为 0)	皮尔森 系数	p-value
dName	98%	2%	0.098	0.0334
dEmail	96%	4%	0.076	0.0956
dWeb	94%	6%	0.259	< 0.0001

dWeb)特征子集中特征的重要性,发现前 8 个最重要的特征中有 5 个特征来源于 apk 数据,只有 3 个特征来源于 matadata,由于 apk 数据的获取更加灵活和方便,因此我们试图用所有只从 apk 中提取的特征子集为应该构造特征向量,并训练回归模型,分析每个使用特征子集训练模型的预测性能,实验结果如图 6 所示,使用所有的特征构建的基础线性模型 (蓝色) 性能总要优于只使用 apk 中提取的特征子集构建的预测模型 (红色),但是在组合模型中只使用 apk 中提取的特征子集构建的模型预测结果与使用所有特征构建的模型预测结果相近,ERT 模型甚至达到了同样的预测准确率,只使用从 apk 中提取的特征子集构建的预测模型依然是 GBRT 模型得到最好的预测效果,且和使用所有特征数据训练的 GBRT 模型相比,准确率十分相近 ,因此最终选择只使用从 apk 中

提取的特征子集构建 GBRT 预测模型,实现应用隐私评分预测工具。

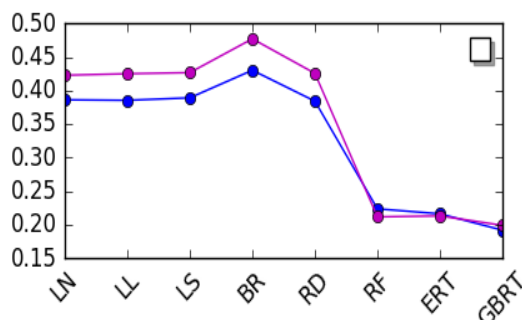


Fig.6 Predict results of feature sets

图 6 特征子集的预测结果

6.3 大规模预测结果

将隐私评分预测工具应用到 11931 个来自谷歌商店的安卓应用,依次反编译每个应用,然后分析每一个应用实际使用的敏感权限、使用意图以及其他的特征数据构造特征向量,通过数据预处理操作之后输入预测模型确定一个隐私评分等级。预测结果分布如图 7 所示,4 个等级的应用所占的比例不同,其中级别为 A 的应用所占的比例最高达到 42%,评级为 A 的应用中,有相当一部分是没有使用敏感权限的应用,此类应用我们认为没有使用敏感权限即没有权限访问用户的隐私信息数据,因此此类应用安全级别较高,将其评分等级设置为最高级别。评级为 B 和 C 的应用所占的比例较为接近分别为 21% 和 29%,评别最低的 D 类应用所占比例为 8%。

表 5 列出了四种不同级别的应用中敏感权限使用特点。针对每个评分级别分别列出了检测到的应用,并描述每个应用中实际访问的敏感权限及使用特点,并结合使用意图做出解释和说明。通过实际分析应用,发现以敏感权限的使用意图为应用进行隐私评分是合理的。

6.3.1 敏感权限分析

统计分析每一类评分等级中应用的各个敏感权限出现的次数在每个评级类别中所占比例,

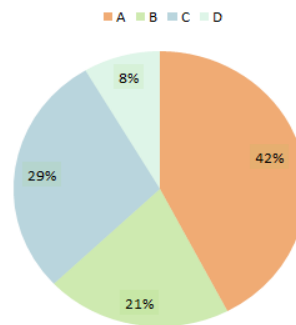


Fig.7 Distribution of privacy rating

图 7 隐私评级分

各个类别的统计数据如表 6 所示,表 6 的最后一列表示每一个权限在所有应用中出现的次数总和,对该列排序可以看出出现次数最高的权限是读取手机状态的 READ_PHONE_STATE 和获取用户精准位置信息 ACCESS_FINE_LOCATION,ACCESS_COARSE_LOCATIONS 和 READ_CONTACTS 所占比例均低于 1%。分析表 6 中获取用户位置的权限 ACCESS_FINE_LOCATION 和 ACCESS_COARSE_LOCATIONS,ACCESS_FINE_LOCATIONS 表示获取用户准确位置,通过 GPS 卫星定位精确度达到 10 米以内,该权限在各个评分级别中所占比例均高于 20%,而获取用户粗略位置信息的权限所得的统计数量均为 0 (0.00%),我们认为这些应用在想要获取用户位置的时候一定是想要更精确的位置,所以会偏向于使用 ACCESS_FINE_LOCATION 而非 ACCESS_COARSE_LOCATION,而每一个评分等级中 ACCESS_FINE_LOCATION 权限所占的比例也相对较高。因此访问用户详细位置信息的权限 ACCESS_FINE_LOCATION 出现次数总和最高,达到 5,058 次。

6.3.2 使用意图分析

表 7 的统计数据展示了各个使用意图在每一个评分等级类别的应用中所占比例,在 A, B, C 三个

Table 5 Sensitive behavior of different rating applications,

表 5 不同评级应用的敏感行为

评 级	权限使用特点	应用名称	功能描述	敏感权限	使用意图和说明
A	没有使用敏感权限	timetable	日程管理,时间提醒	无	无
	使用敏感权限,且使用意图合理	flashlight	手电筒	CAMERA	功能实现 使用该权限为了实现应用本身功能,使用意图比较合理
B	1. 敏感权限数量较少 2. 存在少数让用户接受度不高的使用意图	wPainTimer	计时器	READ_PHONE_STATE ACCESS_FINE_LOCATION	功能实现 ACCESS_FINE_LOCATION并不是必须的,没有此权限不影响功能实现,该权限的使用可能会降低用户好感度
C	1. 敏感权限数量较多 2. 存在让用户感觉不安全或者不舒服的使用意图	Halloween Ringtones	敲门铃音	MANAGE_ACCOUNTS READ_PHONE_STATE ACCESS_FINE_LOCATION	功能实现 使用敏感权限数量较多且实现功能并不需要位置权限 ACCESS_FINE_LOCATION
D	1. 敏感权限数量较多 2. 一个敏感权限会有多个使用意图 3. 使用超出应用本身功能的权限使用	Perspective	3D 增强现实游戏	ECORD_AUDIO READ_PHONE_STATE ACCESS_FINE_LOCATION CAMERA	GAME_ENGINE TARGETED_ADS 其中有两个敏感权限的使用意图是广告,且访问位置信息的权限并不是必须的

评分等级中所占比例最高的使用意图是 INTERNAL,该标记表示某一敏感权限只在应用程序内部使用,而 D 级别中所占比例最高的使用意图则是 DEVELOPMENT_AID。横向对比四种评分等级的应用发现在 D 级别中 TARGETED_ADS (用于广告),PAYMENT (用于付款),GAME_ENGINE (游戏)和 DEVELOPMENT_AID (应用分析)这几种使用意图所占比例要高于其他类别中所占比例,这几种使用意图中尤其是 TARGETED_ADS (用于广告)可能会降低用户体验让用户感觉不舒服和

PAYMENT (用于付款)可能会威胁用户财产安全,因此会降低应用的评分等级.UTILITY (工具)则在 A 和 B 中所占比例较高,这表明当敏感权限的使用意图为帮用户解决问题的时候,用户对应用隐私信息使用的接受度较高。

7 结束语

本文提出了一种基于权限使用意图和用于期望的移动应用隐私评级方法,并实现了一个评级工具。通过使用静态分析技术获取每个应用实际使用的敏感权限并分析其使用意图,结合应用

Table 6 Sensitive permissions of different privacy rate

表 6 不同评分等级敏感权限使用情况

权限名称	A	B	C	D	总次数
READ_PHONE_STATE	10.86%	14.74%	27.34%	25.19%	4287
ACCESS_FINE_LOCATION	20.86%	31.43%	26.63%	23.28%	5058
GET_ACCOUNTS	11.60%	7.30%	7.24%	8.86%	1585
CAMERA	14.88%	8.61%	9.72%	11.57%	2052
READ_CONTACTS	0.07%	0.08%	0.20%	0.26%	33
MANAGE_ACCOUNTS	23.24%	23.45%	11.97%	11.91%	3063
RECORD_AUDIO	11.12%	10.17%	10.97%	14.00%	2218
SEND_SMS	1.45%	2.32%	1.73%	3.46%	418
BLUETOOTH	5.06%	1.77%	4.01%	1.47%	621
AUTHENTICATE_ACCOUNTS	0.86%	0.13%	0.19%	0.00%	45
ACCESS_COARSE_LOCATIONS	0.00%	0.00%	0.00%	0.00%	0

Table 7 Permissions purposes of different privacy rate

表 7 不同评分等级使用意图分布

使用意图	A	B	C	D
DEVELOPMENT_AID	28.42%	34.18%	37.42%	65.63%
GAME_ENGINE	0.43%	1.15%	2.02%	2.56%
INTERNAL	67.29%	56.27%	46.84%	16.07%
MAP	0.43%	0.55%	0.38%	0.45%
MOBILE_ANALYTICS	1.19%	2.64%	4.09%	3.30%
PAYMENT	0.32%	0.32%	1.03%	2.42%
SOCIAL_NETWORK	0.00%	0.02%	0.10%	0.62%
TARGETED_ADS	0.79%	0.62%	7.32%	8.30%
UTILITY	1.12%	4.24%	0.79%	0.65%

其他维度的特征构造特征向量,然后利用机器学习方法构建回归模型,实验结果表明,所构建的预测模型准确率可以达到 80% 以上,将其应用于 11,931 个来自谷歌商店的应用,结果表明约 8% 的应用存在严重的隐私风险。

References

[1] Chin E, Felt A P, Sekar V, et al. Measuring user confidence in smartphone security and privacy[C]// Eighth Symposium on Usable Privacy and Security. ACM, 2012:1.

[2] Enck W, Gilbert P, Chun B G, et al. TaintDroid: An Information-Flow Tracking System for Realtime Privacy Monitoring on Smartphones.[C]// Usenix Conference on Operating Systems Design & Implementation. 2010:393-407.

[3] Egelman S, Felt A P, Wagner D. Choice Architecture and Smartphone Privacy: There's a Price for That[M]// The Economics of Information Security and Privacy. Springer Berlin Heidelberg, 2013:211-236.

[4] Choe E K, Jung J, Lee B, et al. Nudging People Away from Privacy-Invasive Mobile Apps through Visual Framing[M]// Human-Computer Interaction – INTERACT 2013. Springer Berlin Heidelberg, 2013:74-91.

[5] Harbach M, Hettig M, Weber S, et al. Using personal examples to improve risk communication for security & privacy decisions[C]// Sigchi Conference on Human Factors in Computing Systems. ACM, 2014:2647-2656.

[6] Jing Y, Ahn G J, Zhao Z, et al. RiskMon: continuous and automated risk assessment of mobile applications[C]// ACM Conference on Data and Application Security and Privacy. ACM, 2014:99-110.

[7] Zhu K, He X, Xiang B, et al. How Dangerous Are Your Smartphones? App Usage Recommendation with Privacy Preserving[J]. Mobile Information Systems,2016,(2016-6-27), 2016, 2016(4-5):1-10.

[8] Pandita R, Xiao X, Yang W, et al. WHYPER: towards automating risk assessment of mobile applications[C]// Usenix Conference on Security. USENIX Association, 2013:527-542.

[9] Qu Z, Rastogi V, Zhang X, et al. AutoCog: Measuring the Description-to-permission Fidelity in Android Applications[C]// ACM Sigsac Conference on Computer and Communications Security. ACM, 2014:1354-1365.

[10] Gorla A, Tavecchia I, Gross F, et al. Checking App Behavior Against App Descriptions[C]// International Conference on Software Engineering. 2014:1025-1035.

[11] Lin J, Amini S, Hong J I, et al. Expectation and purpose:understanding users' mental models of mobile app privacy

- through crowdsourcing[C]// ACM Conference on Ubiquitous Computing. ACM, 2012:501-510.
- [12] Lin J, Liu B, Sadeh N, et al. Modeling Users' Mobile App Privacy Preferences: Restoring Usability in a Sea of Permission Settings[J]. 2014.
- [13] Felt A P, Ha E, Egelman S, et al. Android permissions:user attention, comprehension, and behavior[C]// Proceedings of the Eighth Symposium on Usable Privacy and Security. ACM, 2012:1-14.
- [14] Kelley, P, G, Consolvo, S, Cranor, L, F, et al. A Conundrum of Permissions: Installing Applications on an Android Smartphone[C]// Springer Berlin Heidelberg:Proceedings of the 16th international conference on Financial Cryptography and Data Security (FC'12), 2012. 1-12
- [15] E Enck W, Gilbert P, Chun B G, et al. TaintDroid: An Information-Flow Tracking System for Realtime Privacy Monitoring on Smartphones.[C]// Usenix Conference on Operating Systems Design & Implementation. 2010:393-407.
- [16] 4Chin E, Felt A P, Sekar V, et al. Measuring user confidence in smartphone security and privacy[C]// Eighth Symposium on Usable Privacy and Security. ACM, 2012:1.
- [17] Felt A P, Ha E, Egelman S, et al. Android permissions:user attention, comprehension, and behavior[C]// Proceedings of the Eighth Symposium on Usable Privacy and Security. ACM, 2012:1-14.
- [18] Shklovski I, Mainwaring S D, Skladár H H, et al. Leakiness and creepiness in app space: perceptions of privacy and mobile app use[J]. 2014:2347-2356.
- [19] Mylonas A, Kastania A, Gritzalis D. Delegate the smartphone user? Security awareness in smartphone platforms[J]. Computers & Security, 2013, 34(3):47-66.
- [20] Liccardi I, Pato J, Weitzner D J, et al. No technical understanding required: helping users make informed choices about access to their personal data[C]// MOBIQUITOUS '14 Proceedings of the, International Conference on Mobile and Ubiquitous Systems: Computing, NETWORKING and Services. 2014.
- [21] Peng H, Gates C, Sarma B, et al. Using probabilistic generative models for ranking risks of Android apps[C]// ACM Conference on Computer and Communications Security. ACM, 2012:241-252.
- [22] Ismail Q, Ahmed T, Kapadia A, et al. Crowdsourced Exploration of Security Configurations[C]// ACM Conference on Human Factors in Computing Systems. ACM, 2015:467-476.
- [23] Zhang M, Duan Y, Feng Q, et al. Towards Automatic Generation of Security-Centric Descriptions for Android Apps[C]// ACM Sig-sac Conference on Computer and Communications Security. ACM, 2015:518-529.
- [24] Yuanchun Li, Yao Guo, and Xiangqun Chen. PERUIM: understanding mobile application privacy with permission-UI mapping[C]// ACM International Joint Conference on Pervasive and Ubiquitous Computing. ACM, 2016:682-693.
- [25] Jianjun Huang, Xiangyu Zhang, Lin Tan, et al. AsDroid: detecting stealthy behaviors in Android applications by user interface and program behavior contradiction[C]// International Conference on Software Engineering. ACM, 2014:1036-1046.
- [26] Zheming Yang, Min Yang, Yuan Zhang, et al. AppIntent:analyzing sensitive data transmission in android for privacy leakage detection[C]// ACM Sig-sac Conference on Computer & Communications Security. ACM, 2013:1043-1054.
- [27] Good N, Dhamija R, Grossklags J, et al. Stopping spyware at the gate:a user study of privacy, notice and spyware[C]// 2005:43-52.31
- [28] Apktool. Android-Apktool.
<https://code.google.com/p/android-apktool/>
- [29] Ma Ziang, Wang Haoyu, Guo Yao, et al. LibRadar: fast and accurate detection of third-party libraries in Android apps[C]// Proceedings of the 38th International Conference on Software Engineering Companion. New York: ACM,2016: 653-656.
- [30] Yang Wei, Xiao Xusheng ,Li Dengfeng, et al. Mobile Application Security Analytics: Results and Challenges. Journal of Information Security[J].2016(02):1-14.

附中文参考文献：

- [30] 杨威,肖旭生,李邓锋,李豁然,刘譞哲,王浩宇,郭耀,谢涛.移动应用安全解析学:成果与挑战[J].信息安全学报,2016(02):1-14



Xianxian Zhang was born in 1993. She received the Bachelor degree in Network Engineering from Beijing University of Posts and Telecommunications in 2015. She is a student at Beijing University of Posts and Telecommunications. Her research interests include mobile security.

张贤贤(1993-),女,甘肃天水人,2015年从北京邮电大学获得学士学位,目前就读于北京邮电大学计算机学院,主要研究领域为移动安全。



Haoyu Wang was born in 1991. He received the Ph.D degree in Computer Science from Peking University in 2016. He is a lecturer at Beijing University of Posts and Telecommunications. His research interests include mobile security, software engineering, etc.

王浩宇(1991-),男,河南省周口人,2016 年从北京大学获得博士学位,目前为北京邮电大学讲师,主要研究领域为移动安全,软件工程。



Yao Guo was born in 1976. He received his PhD in Computer Engineering from University of Massachusetts at Amherst in 2007. He is an associate professor at Peking University. His research interests include software engineering, system software, etc.

郭耀(1976-),男,山西人,2007 年从马萨诸塞大学阿姆斯特分校获得博士学位,目前为北京大学副教授。他的研究方向为软件工程,系统软件。



Guoai Xu was born in 1972. He received the Ph.D. degree in signal and information processing from the Beijing University of Posts and Telecommunications in 2002. He is a professor at Beijing University of Posts and Telecommunications. His research interests include software security, mobile security, etc.

徐国爱(1972-),男,江西鄱阳人,2002 年从北京邮电大学获得博士学位,目前为北京邮电大学教授,主要研究领域为软件安全,移动安全。